

## شبیه سازی جریان بین دو استوانه هم محور چرخان به کمک روش حجم محدود

ایمان روح الامین<sup>۱</sup>، سعید جعفری<sup>۲</sup>، احمد صداقت<sup>۳</sup>

دانشگاه صنعتی اصفهان، دانشکده مهندسی مکانیک

Sedaghat@cc.iut.ac.ir

### چکیده

در صنعت، ناپایداری جریان در یاتاقانهای ژورنال و در سرعتهای دورانی بالا از اهمیت زیادی برخوردار است. معیار ناپایداری برای جریان غیر لزج بین دو استوانه هم محور دوار توسط تیلور ارائه شده است هر چند که لزجت در یک سیال می تواند نقش پایدار کننده و یا ناپایدار کننده داشته باشد. در کار حاضر، از روش حجم محدود برای شبیه سازی پایداری جریان بین دو استوانه هم محور دوار استفاده شده است. در ابتدا جریان به صورت آرام در نظر گرفته می شود و سپس با افزایش سرعت نسبی بین استوانه ها عدد تیلور بحرانی محاسبه و با رابطه تیلور مقایسه می شود. از نتایج عددی مشاهده می شود که با افزایش عدد تیلور به تدریج گردابه ها در جریان قدرت بیشتری یافته و لزجت نقش ناپایدار کننده را بازی می کند. با ناپایدار شدن جریان، الگوهای سلولی مربعی در جریان قابل مشاهده است.

### واژه های کلیدی: حجم محدود - کوئت - تیلور

### مقدمه

همگن است. اینگونه ناپایداری در کاربرد های مختلف مکانیک سیالات به ویژه در یاتاقانهای ژورنال حائز اهمیت است. ناپایداری سیالهای چرخان برای اولین بار توسط ریلی (۱۸۸۰) [۱،۲] مورد مطالعه قرار گرفت. ریلی معیاری برای ناپایداری یک جریان چرخشی غیر لزج بدین نحو ارائه کرد که اگر مربع گردش (سیرکولاسیون) جریان به طرف شعاعهای خارجی کم شود آنگاه جریان ناپایدار می شود. به عبارت دیگر پایداری در صورتی برقرار خواهد بود اگر نامساوی زیر برقرار باشد:

$$\frac{d}{dr}(rV_{\theta})^2 > 0 \quad (1)$$

برای تمام جریانهای آرام یک مقدار حدی رینولدز وجود دارد که به ازای آن رژیم آرام جریان دستخوش اغتشاشات می گردد. در رینولدزهای بالاتر جریان همیشه مغشوش یعنی بی نظم، تصادفی و ناپایدار است. مفهوم ناپایداری توسط کانینگهام بدین نحو ارائه می شود که اگر یک حالت فیزیکی بتواند در مقابل یک اختلال مقاومت کرده و حالت اصلی خود را حفظ کند پایدار خواهد ماند و در غیر این صورت نا پایدار می شود.

ناپایداری که در تحقیق حاضر مورد توجه قرار می گیرد ناشی از اثرات دینامیکی چرخش در یک سیال

<sup>۱</sup> دانشجوی کارشناسی ارشد

<sup>۲</sup> دانشجوی کارشناسی ارشد

<sup>۳</sup> استادیار دانشکده مکانیک

### تئوری و معادلات حاکم بر حل

بر اساس مشاهدات تجربی تیلور، جریان ثانویه ای به شکل یک سری سلول های پایدار به طور منظم در امتداد طولی استوانه شکل می گیرند (شکل ۲). بکمک این مشاهدات تجربی است که تئوری مسئله بصورت یک مسئله تقارن محوری ( $\frac{\partial}{\partial \theta} = 0$ ) ساده می گردد.

### سیال غیرلزج

معادلات حاکم بر حرکت سیال تراکم ناپذیر و غیر لزج با توجه به شرایط تقارن محوری بصورت زیر بیان می شود: پیوستگی:

$$\frac{\partial u_r}{\partial r} + \frac{u_r}{r} + \frac{\partial u_z}{\partial z} = 0 \quad (۴)$$

ممنتوم:

$$\frac{Du_r}{Dt} - \frac{u_\theta^2}{r} = -\frac{1}{\rho} \frac{\partial p}{\partial r} \quad (۵-۱)$$

$$\frac{Du_\theta}{Dt} + \frac{u_r u_\theta}{r} = 0 \quad (۵-ب)$$

$$\frac{Du_z}{Dt} = -\frac{1}{\rho} \frac{\partial p}{\partial z} \quad (۵-پ)$$

شرایط مرزی بر حسب تقارن و شرایط فیزیکی عبارتند از:

$$u_r = u_z = 0, u_\theta = v_r, p = p(r) \quad (۶)$$

بنابراین می توان رابطه (۵-ب) را بصورت زیر نوشت:

$$\frac{D(ru_\theta)}{Dt} = 0 \quad (۷)$$

با توجه به اینکه در در جریان پایا و برای سیال ایده آل بنا بر تئوری کلونین چرخش،  $\Gamma = 2\pi r u_\theta$ ، در راستای شعاع تغییر نمی کند. رابطه (۷) را بکمک تعریف ممنتوم زاویه ای،  $H = r u_\theta$ ، میتوان بصورت زیر به انرژی جنبشی  $E$  مربوط ساخت:

$$E = \frac{u_\theta^2}{2} = \frac{1}{2} \frac{H^2}{r^2} \quad (۸)$$

بنابراین اگر در حلقه ای از سیال به شعاع داخلی  $r_1$  و شعاع خارجی  $r_2$  که تبادل انرژی صورت می گیرد، تئوری کلونین الزام می دارد که چرخش در طی این تبادل ثابت باقی

که این معیار برای جریان بین استوانه های هم محور بصورت زیر بیان می شود:

$$\Omega_o r_o^2 \geq \Omega_i r_i^2 \quad (۲)$$

که زیر نویس های  $i$  و  $o$  معرف سطوح استوانه های داخل و خارج هستند. بنابراین می توان سه حالت زیر را برای پایداری جریان بین دو استوانه انتظار داشت:

۱- استوانه داخلی چرخان و استوانه خارجی ساکن: جریان ناپایدار.

۲- استوانه داخلی ساکن و استوانه خارجی چرخان: جریان پایدار.

۳- چرخش دو استوانه در خلاف جهت هم: ناپایدار.

جریان سیال بین دو استوانه هم محور دوار توسط کوئت (۱۸۹۰) و سپس مالکوک (۱۸۹۶) به طور تجربی مورد بررسی قرار گرفت [۱،۲]. بدین سبب مسئله فوق، شکل (۱)، به مسئله جریان کوئت-تیلور مشهور شده است. کوئت مشاهده نمود که برای یک مقدار حدی سرعت چرخش استوانه ها شکل جریان نه آرام و نه مغشوش است. شکل حاصل که در مرز پایداری سیال مشاهده می شود به افتخار تیلور به گردابه های تیلور (۱۹۲۳) نامیده شدند [۳]. تیلور بصورت تجربی و تئوری نشان داد که جریان سیال بین دو استوانه وقتی ناپایدار می شود که سرعت نسبی سیلندر داخلی نسبت به سیلندر خارجی از یک مقدار بحرانی بالاتر رود. تیلور بکمک فرضیات ساده کننده نشان داد که برای سیال لزج پایداری تنها وابسته به

و عدد بدون بعد تیلور ( $Ta$ ) مطابق زیر است:

$$Ta = \frac{r_i c^3 (\Omega_i^2 - \Omega_o^2)}{\nu^2} \quad (۳)$$

که  $c = r_o - r_i$  است.

در این کار تحقیقی هدف حل دقیق جریان لزج بین دو استوانه دوار تحت حالت های هندسی و جریان گوناگون بوده است. برای این کار از نرم افزار فلونت و به روش حجم محدود حرکت سیال بین دو استوانه شبیه سازی شده است. در ابتدا معادلات حاکم برای جریانهای تراکم ناپذیر لزج و غیرلزج ارائه می شوند و سپس بکمک تئوری خطی ناپایداری هیدرودینامیکی [۱،۲]. مسئله فوق بررسی می شود. در ادامه نتایج کار حاضر با نتایج تیلور مقایسه می شود و بر روی الگوهای سلولی جریان بحث می شود.

سینگ در سال (۱۹۲۳) به کمک آنالیز مودال مسئله فوق را مورد تحلیل قرار داد [۱، ۲]. او با خطی سازی معادلات حاکم و تقریب اغتشاشات بصورت:

$$u'_r = u \exp(st + ikz) \quad (۱۳)$$

که  $i = \sqrt{-1}$  عدد موهومی،  $k$  عدد موج و  $s$  سرعت موج است به معادله زیر دست یافت که یک مسئله کلاسیک استورم - لیویل است:

$$(DD_* - k^2)u - \frac{k^2}{s^2} \Phi u = 0 \quad (۱۴)$$

اگر  $\Phi$  در فاصله  $r_1 < r < r_2$  بزرگتر از صفر باشد، مقادیر مشخصه معادله فوق منفی و در غیر اینصورت مثبت می شوند. به هر حال با توجه به این تحلیل سینگ نتیجه گرفت که اگر  $\Phi$  در جایی از سیال منفی شود، بنا بر معیار ریلی، سیال ناپایدار خواهد شد. ولی اگر  $\Phi$  همواره مثبت باشد، نمی توان با در نظر گرفتن اغتشاشات تقارن محوری پایداری سیال نتیجه گرفت. با در نظر گرفتن توزیع سرعت زاویه ای مطابق زیر برای سیال لزج:

$$\Omega(r) = A + \frac{B}{r^2} \quad (۱۵)$$

که  $A = \Omega_1 \frac{\mu - \eta^2}{1 - \eta^2}$  و  $B = \Omega_1 r_1^2 \frac{1 - \mu}{1 - \eta^2}$  می باشند و استفاده از آن در معیار ریلی داریم:

$$\Phi = 4\mu \Omega = 4\Omega_1 \frac{(1 - \mu)(\mu - \eta^2)}{(1 - \eta^2)} \left( \frac{\eta^2}{r^2} + \frac{\mu - \eta^2}{1 - \mu} \right) \quad (۱۶)$$

که شعاع بدون بعد شده است که در فاصله  $\eta \leq r \leq 1$  تغییر میکند و  $\eta = \frac{r_1}{r_2}$  و  $\mu = \frac{\Omega_1}{\Omega_2}$  اعداد بدون بعد مشخصه هستند. با توجه به این نتایج، هنگامی که دو استوانه در یک جهت حرکت می کنند:

$$\begin{cases} \Phi > 0 & \text{if } \mu > \eta^2 \\ \Phi < 0 & \text{if } 0 < \mu < \eta^2 \end{cases} \quad (۱۷)$$

لذا در این حالت مرز پایداری برای جریان کوئت، در سیال غیرلزج توسط خط ریلی  $\mu = \eta^2$  یا  $\Omega_1 r_1^2 = \Omega_2 r_2^2$  مشخص میشود. و هنگامی که استوانه ها در خلاف جهت هم می چرخند:

بماند. این بدین معنی است که بعد از تبادل انرژی، سیال واقع شده در  $r_2$  باید دارای چرخشی  $\Gamma$  برابر میزان چرخش در شعاع  $r_1$  باشد. بنابراین، با نوشتن روابط انرژی در قبل و بعد از تبادل داریم [۴]:

$$E_{initial} = \frac{1}{2} \left[ \frac{H_1^2}{r_1^2} + \frac{H_2^2}{r_2^2} \right] + \frac{1}{8\pi^2} \left[ \frac{\Gamma_1^2}{r_1^2} + \frac{\Gamma_2^2}{r_2^2} \right] \quad (۹)$$

$$E_{final} = \frac{1}{2} \left[ \frac{H_2^2}{r_1^2} + \frac{H_1^2}{r_2^2} \right] + \frac{1}{8\pi^2} \left[ \frac{\Gamma_2^2}{r_1^2} + \frac{\Gamma_1^2}{r_2^2} \right] \quad (۱۰)$$

و اختلاف انرژی جنبشی به ازای واحد جرم پس از تبادل برابر می شود با:

$$\Delta E = E_{final} - E_{initial} = \frac{1}{2} [H_2^2 - H_1^2] (r_1^{-2} - r_2^{-2}) = \quad (۱۱)$$

$$\frac{1}{8\pi^2} [\Gamma_2^2 - \Gamma_1^2] (r_1^{-2} - r_2^{-2})$$

برای اینکه  $\Delta E > 0$  باشد لازم است که  $\Gamma_2^2 > \Gamma_1^2$  (یعنی اینکه  $H_2^2 > H_1^2$ ) باشد (چون  $r_1 < r_2$  است). یعنی اینکه برای ایجاد تبادل بین دو سطح حلقه سیال، در حالتی که  $\Gamma_2^2 > \Gamma_1^2$ ، احتیاج به منبع خارجی است. بنابراین تبادل خود به خودی بین حلقه های سیال امکان پذیر نیست. از طرف دیگر اگر  $\Gamma^2$  با افزایش شعاع کاهش یابد، تبادل خود به خودی بین حلقه های سیال موجب آزاد شدن انرژی و ایجاد ناپایداری می گردد. به عبارت دیگر، عامل این ناپایداری وجود نیروی گریز از مرکز است که بر نیروی ناشی از گرادیان فشار غلبه می کند. بنابر این معیار ریلی در جریان کوئت برای ایجاد ناپایداری بصورت زیر قابل بیان است:

$$\frac{dH^2}{dr} < 0 \quad \text{or} \quad \frac{d\Gamma^2}{dr} < 0 \quad (۱۲)$$

برای مثال در حالتی که استوانه خارجی ساکن است و استوانه داخلی در حال چرخش است،  $\Gamma^2$  با افزایش شعاع کاهش می یابد و معیار ریلی بیانگر ناپایدار بودن سیال است.

$$\frac{\partial u_r}{\partial r} + \frac{u_r}{r} + \frac{\partial u_z}{\partial z} = 0 \quad (۲۳)$$

$$\frac{\partial u_r}{\partial t} - \frac{2Vu_\theta}{r} = -\frac{1}{\rho} \frac{\partial p}{\partial r} + \nu \left( \nabla^2 u_r - \frac{u_r}{r^2} \right) \quad (۲۴)$$

$$\frac{\partial u_\theta}{\partial t} + \left( \frac{dV}{dr} + \frac{V}{r} \right) u_r = \nu \left( \nabla^2 u_\theta - \frac{u_\theta}{r} \right) \quad (۲۵)$$

$$\frac{\partial u_z}{\partial t} = -\frac{1}{\rho} \frac{\partial p}{\partial z} + \nu \nabla^2 u_z \quad (۲۶)$$

چون ضرایب این معادلات تنها وابسته به شعاع هستند با جایگزینی مدهای نرمال بصورت:

$$\begin{pmatrix} u_r \\ u_\theta \\ u_z \\ P \end{pmatrix} = \begin{pmatrix} \hat{u}_r(r) \\ \hat{u}_\theta(r) \\ \hat{u}_z(r) \\ \hat{P}(r) \end{pmatrix} \exp(\sigma t + ikz) \quad (۲۷)$$

و با ساده سازی به یک سیستم کوپل شده بصورت توابعی از  $\hat{u}_r$  و  $\hat{u}_\theta$  می رسیم که با تقریب باریک بودن فاصله بین سیلندرها  $d = R_2 - R_1 \ll \frac{R_1 + R_2}{2}$  در نهایت معادلات زیر منتج می شود [۵]:

$$(D^2 - k^2 - \sigma)(D^2 - k^2)\hat{u}_r = (1 + \alpha x)\hat{u}_\theta \quad (۲۸)$$

$$(D^2 - k^2 - \sigma)\hat{u}_\theta = -Ta k \hat{u}_r \quad (۲۹)$$

که:

$$\alpha = \frac{\Omega_2}{\Omega_1} - 1, D = \frac{d}{dr}, x = \frac{r_1}{d} \quad (۳۰-ا)$$

$$Ta = 4 \left( \frac{\Omega_1 r_1^2 - \Omega_2 r_2^2}{r_2^2 - r_1^2} \right) \frac{\Omega_1 d^4}{\nu^2} \quad (۳۰-ب)$$

البته لازم به ذکر است که در بعضی از مراجع عدد تیلور بصورت زیر تعریف می شود:

$$Ta = \frac{4\Omega_1^2 r_1^2}{\nu^2} \frac{\eta^2 - \mu}{1 - \mu^2} \left( \frac{1 - \eta}{\eta} \right)^4 \quad (۳۱)$$

که  $\eta = \frac{r_1}{r_2}$  و  $\mu = \frac{\Omega_2}{\Omega_1}$ . با استفاده از ساده سازیهای مربوط به باریک بودن فاصله بین دو سیلندر، معادلات فوق بشکل کلی معادلات لاپلاس مطابق زیر در می آید:

$$\begin{cases} (D^2 - a^2)u = f(x)V \\ (D^2 - a^2)V = Ta g(x)u \end{cases} \quad (۳۲)$$

$$\begin{cases} \Phi > 0 & \text{if } \eta_0 < r \leq 1 \\ \Phi < 0 & \text{if } \eta \leq r < \eta_0 \end{cases} \quad (۱۸)$$

که پارامتر  $\eta_0$  توسط رابطه زیر محاسبه می شود:

$$\eta_0 = \eta \left( \frac{1 + |\mu|}{\mu^2 + |\mu|} \right)^{1/2} \quad (۱۹)$$

لذا وقتی که چرخش استوانه ها در خلاف جهت هم است، این معیار جریان را ناپایدار در نظر می گیرد.

### سیال لزج - مسئله تیلور

لزجت معمولاً نقش پایدار کننده در جریانهای بین استوانه های دوار را ایفا می کند. تأثیر لزجت اغلب بوسیله عدد بدون بعد تیلور،  $Ta$ ، بیان می شود. عدد تیلور نسبت نیروی گریز از مرکز به ویسکوزیته است. اگر عدد تیلور کمتر از عدد تیلور بحرانی باشد، جریان پایدار و در غیر این صورت نا پایدار است.

معادلات حاکم در دستگاه استوانه ای در حالت ویسکوز و با شرط تقارن محوری بودن اغتشاشات بدین صورت قابل بیان است:

$$\frac{\partial \tilde{u}_r}{\partial r} + \frac{\tilde{u}_r}{r} + \frac{\partial \tilde{u}_z}{\partial z} = 0 \quad (۱۹)$$

$$\frac{D\tilde{u}_r}{Dt} - \frac{\tilde{u}_\theta^2}{r} = -\frac{1}{\rho} \frac{\partial \tilde{p}}{\partial r} + \nu \left( \nabla^2 \tilde{u}_r - \frac{\tilde{u}_r}{r^2} \right)$$

$$\frac{D\tilde{u}_\theta}{Dt} + \frac{\tilde{u}_r \tilde{u}_\theta}{r} = \nu \left( \nabla^2 \tilde{u}_\theta - \frac{\tilde{u}_\theta}{r} \right)$$

$$\frac{D\tilde{u}_z}{Dt} = -\frac{1}{\rho} \frac{\partial \tilde{p}}{\partial z} + \nu \nabla^2 \tilde{u}_z \quad (۲۰)$$

با فرض شرایط اولیه زیر که در جریان ویسکوز حاکم است:

$$u_r = u_z = 0, u_\theta = V(r) = Ar + \frac{B}{r}, \quad (۲۱)$$

$$\frac{1}{\rho} \frac{dp}{dr} = \frac{V^2(r)}{r}$$

که:

$$A \equiv \frac{\Omega_2 r_2^2 - \Omega_1 r_1^2}{r_2^2 - r_1^2} \text{ و } B \equiv \frac{(\Omega_1 - \Omega_2) r_1^2 r_2^2}{r_2^2 - r_1^2}$$

با جایگزینی ترمهای اغتشاشی:

$$\tilde{u} = \bar{u} + u' \text{ و } \tilde{P} = \bar{P} + P' \quad (۲۲)$$

و صرفنظر از ترمهای غیر خطی به ترمهای زیر می رسیم:

نمی یابند. با افزایش سرعت نسبی بین سیلندرها نیروهای گریز از مرکز بر گرادیان فشار و نیروهای لزج به آرامی غلبه کرده و گردابه ها در جریان به سرعت گسترش می یابند.

همانطور که در شکل (۵) مشاهده می گردد، بتدریج گردابه ها در جریان قدرت بیشتری یافته و تقریباً از شکل (۶) می توان جریان را بطور کامل ناپایدار در نظر گرفت. این فرایند در نقاط مختلفی که در نمودار (۷) نشان داده شده است تکرار گردید و تیلور بحرانی حاصل بر حسب حل عددی جریان لزج با نمودار تیلور مقایسه گردید. در این نمودار نقاط واقع در سمت راست و چپ به ترتیب نماینده حالاتی است که دو استوانه در جهات یکسان و غیر یکسان در حال چرخش می باشند.

نقاط واقع بر محور عمودی نماینده حالاتی است که استوانه خارجی ساکن، و استوانه داخلی در حال چرخش می باشد. همانطور که در شکل (۷) مشاهده می شود نتایج حاضر اختلاف ناچیزی در حالت چرخش مختلف جهت با نمودار تیلور دارد. برای مثال در حالتی که سیلندر داخلی با سرعت زاویه ای  $1/5$  رادیان بر ثانیه و سیلندر خارجی با سرعت زاویه ای  $1$  رادیان بر ثانیه می چرخند؛ بنا بر نمودار تیلور جریان در مرز ناپایداری بوده و عدد تیلور بحرانی برابر  $5062$  می شود. هر چند در نتایج حاضر برای ناپایداری جریان، سرعت زاویه ای  $0/95$  رادیان بر ثانیه در سیلندر خارجی کفایت می کند. عدد تیلور بحرانی در این حالت برابر  $5301$  محاسبه شده است که اختلافی حدود  $0/6$  درصد را نشان می دهد.

برای دید مناسبتر نسبت به ناپایداری ایجاد شده در جریان، نمودارهای دیگری مثل فشار استاتیک، فشار دینامیک، سرعت محوری، سرعت شعاعی و ورتیسیتی در شکل‌های (۸) تا (۱۲) به تصویر کشیده شده است. همانطور که از کانتورهای فشار استاتیکی در شکل (۸) مشخص است ناحیه پرفشار بر روی سیلندر بیرونی و ناحیه کم فشار بر روی سیلندر داخلی تغییر می کنند. در حالیکه مطابق شکل (۹) فشار دینامیکی بر روی سیلندر دوار داخلی بیشتر است. کانتورهای سرعت محوری در شکل (۱۰) رفتار پر بودیک یکسان ولی معکوسی را بر روی هر دو سیلندر داخل و خارج نشان می دهد. حال آنکه کانتورهای سرعت شعاعی در شکل (۱۱) رفتار پر بودیک یکسانی را بر روی هر دو سیلندر داخل و خارج ارائه می دهد. کانتورهای

با حل این معادلات می توان عدد تیلور بحرانی را مطابق زیر بدست آورد [۶]:

$$Ta_{cr} = 1708 \times \frac{1 - \eta^2}{\mu - \eta^2 + 2(1 - \mu)\eta^2 \ln(1/\mu)} \frac{1}{1 - \eta^2} \quad (33)$$

با تقریب باریک بودن فاصله بین سیلندرها، عدد موج محوری بدون بعد شده در آغاز ناپایداری برابر  $k_{cr} = 3.12$  محاسبه می شود. طول موج مربوطه در آغاز ناپایداری برابر  $\lambda_{cr} = 2d$  است که دو برابر اندازه یک سلول مربعی است. در حالت حدی  $1 \rightarrow \frac{\Omega_2}{\Omega_1}$  عدد تیلور بحرانی با عدد ریلی بحرانی برابر است. این موافقت قابل پیش بینی بود زیرا که در این حالت حدی  $\alpha = 0$  است و مسئله مقدار ویژه به مسئله بنارد کاهش می یابد. در استوانه هایی که در خلاف هم می چرخند حل ریلی جریان را ناپایدار پیش بینی می کند. این در حالی است که در حالت جریان لزج جریان می تواند پایدار باقی بماند.

## نتایج عددی و بررسی نتایج

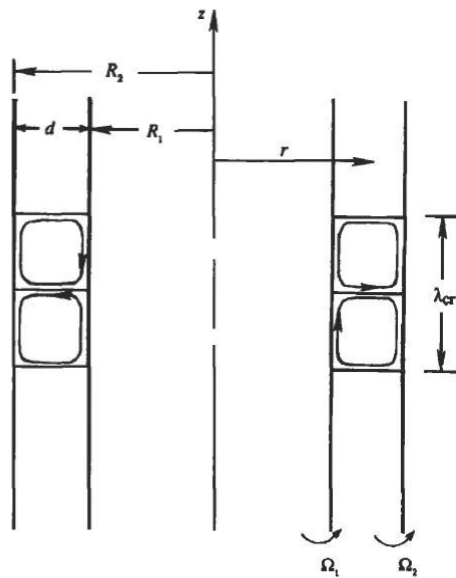
گسترش ورتکسهای تیلور در فاصله بین سیلندرها در شکل شماتیک (۲) نشان داده شده است. ورتکسهای تیلور بصورت گردابه هائی که در خلاف جهت هم می چرخند و مانند حلقه هایی در اطراف استوانه ها گسترش می یابند. تیلور در مشاهدات تجربی خود به کمک تزریقات رنگی توانست عدد موج بحرانی،  $k_{cr} = \frac{2\pi d}{\lambda}$ ، در حدود  $3/12$  را در آغاز ناپایداری اندازه گیری کند. طول موج،  $\lambda$ ، در این رابطه بر اساس فاصله محوری اندازه گیری می شود که هر دو گردابه اشغال می کنند. بر این اساس در روش عددی حاضر طول موج  $\lambda_{cr} = 0.01(m)$  و عدد موج  $k_{cr} = 3.05$  محاسبه شدند.

برای بدست آوردن عدد تیلور بحرانی با نقطه ای که جریان پایدار بود تحلیل آغاز شد و بتدریج با افزایش عدد تیلور نتایج با یکدیگر مقایسه گردید (شکل‌های ۳ تا ۶). در حالت پایدار با اینکه در ابتدای سیلندرها ورتکس‌هایی تشکیل می گردد اما به علت آثار لزجت در جلوگیری از ناپایداری این گردابه ها به داخل سیلندر گسترش

ورتیسیته در شکل (۱۲) هم توزیع ورتکس ها را در الگو های مربعی به تصویر می کشد. این نتایج مطابقت خوبی را با نتایج تجربی نشان می دهد و در فهم شکل پیچیده جریان کمک شایانی می کند.

### مراجع

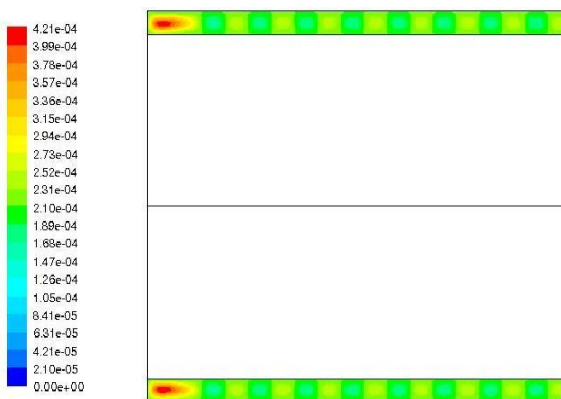
1. Chandrasekhar, S., Hydrodynamic and Hydromagnetic Stability, Dover Pub., Inc., New York, 1981.
2. Drazin, P.G., Hydrodynamic Stability, Cambridge University Press, 1997.
3. Taylor, G. I., "Stability of a viscous liquid contained between two rotating cylinders," Philosophical Transactions of the Royal Society of London. Series A, Vol. 223 , pp. 289-343, 1923.
4. Davey, A. "The Growth of Taylor Vortices in Flow between Rotating Cylinders," J. Fluid Mech., 1962.
5. Lucke, M., "Flow in Small Annulus between Concentric Cylinders," J. Fluid Mech., Vol. 140, pp. 343-353, 1984.
6. Benjamin, T., "Notes on Multiplicity of Flows in Taylor Experiment," J. Fluid Mech., Vol. 121, pp. 343-353, 1984.



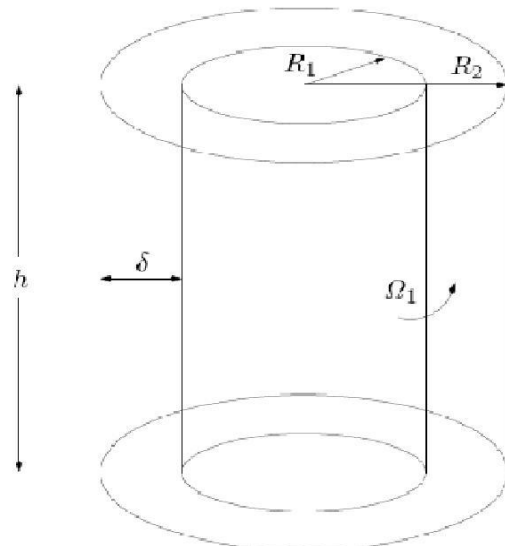
شکل (۲)- ورتکس های تیلور



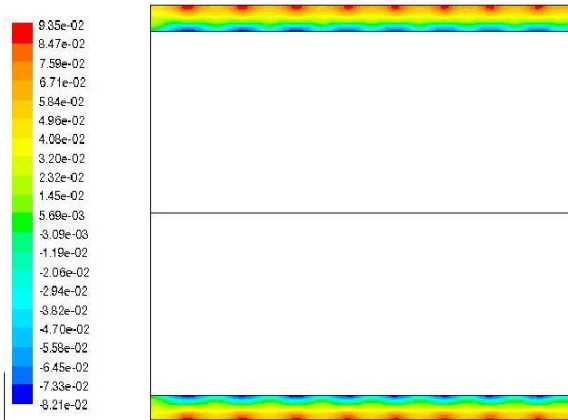
شکل (۳)- کانتورهای تابع جریان- جریان پایدار ( $Ta = 500$ ).



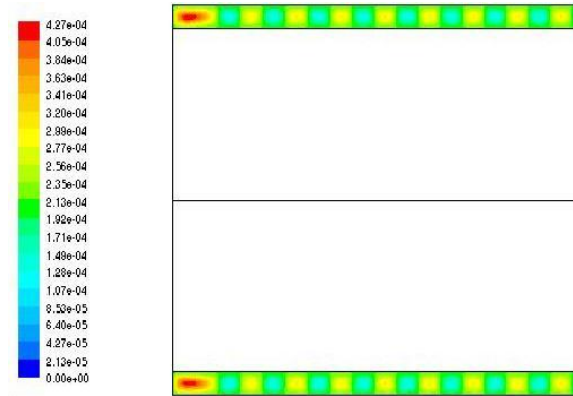
شکل (۴)- کانتورهای تابع جریان- ورتکس های محو شونده ( $Ta = 1000$ ).



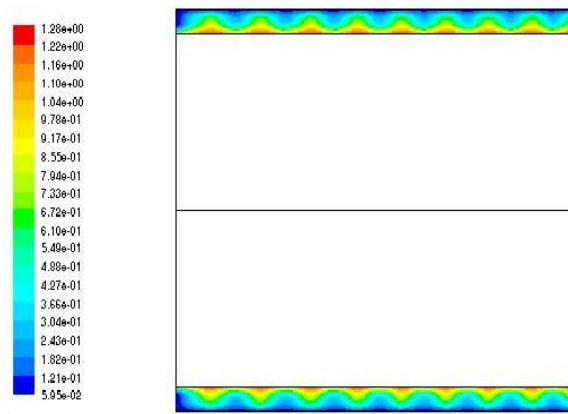
شکل (۱)- هندسه مورد مطالعه



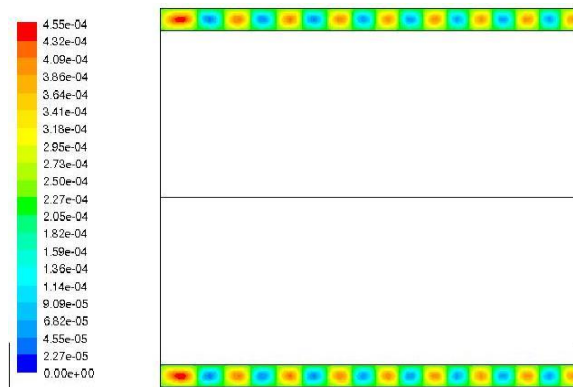
شکل (۸) - کانتورهای فشار استاتیکی ( $Ta = 5062$ ).



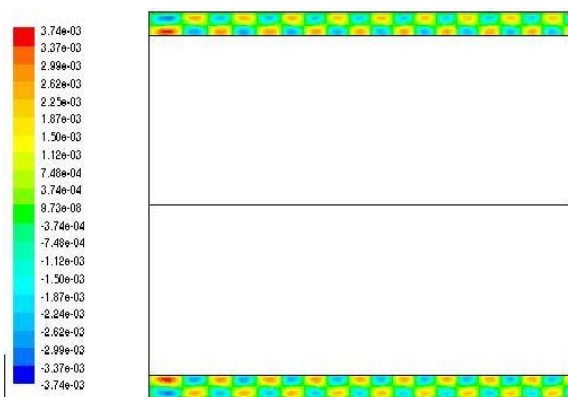
شکل (۵) - کانتورهای تابع جریان - رشد ورتکس ها ( $Ta = 3000$ ).



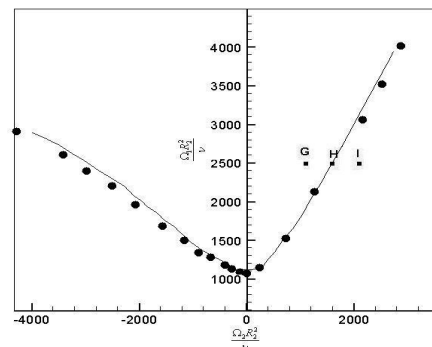
شکل (۹) - کانتورهای فشار دینامیکی ( $Ta = 5062$ ).



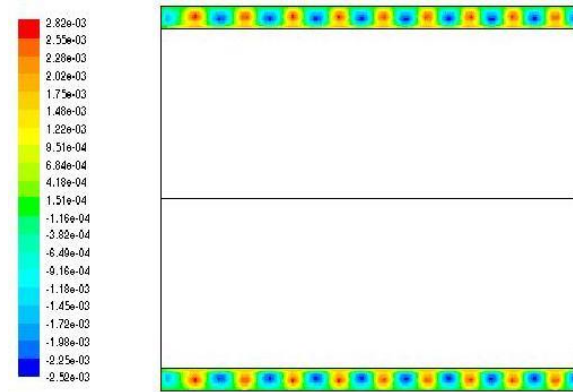
شکل (۶) - کانتورهای تابع جریان - جریان کاملا ناپایدار ( $Ta = 5062$ ).



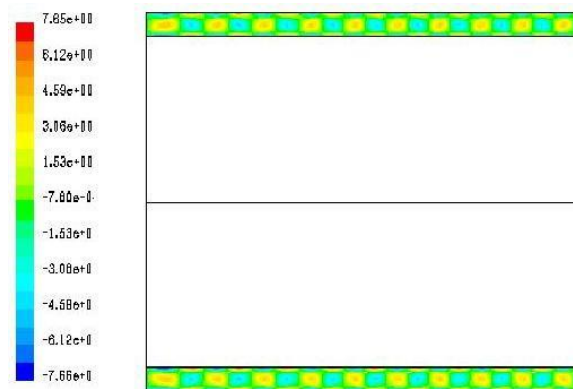
شکل (۱۰) - کانتورهای سرعت محوری ( $Ta = 5062$ ).



شکل (۷) - مقایسه نتایج حاضر (سمبل ها) با تابع تیلور



شکل (۱۱) - کانتورهای سرعت شعاعی  
( $Ta = 5062$ ).



شکل (۱۲) - کانتورهای ورتیسیتته  
( $Ta = 5062$ ).